VIGILANCIA SINÓPTICA DE SUDAMÉRICA

INFORME
MAYO 2025

PRÓXIMO INFORME A ACTUALIZAR
JUNIO 2025

Dirección de Meteorología y Evaluación Ambiental Atmosférica – DMA
Subdirección de Predicción Meteorológica – SPM

ANÁLISIS MENSUAL

NIVELES ALTOS
Viento (m/s) – 250 hPa

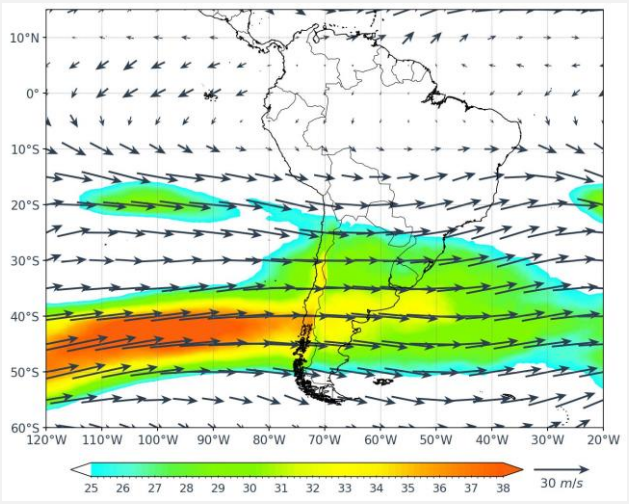

NIVELES MEDIOS
Viento (m/s) – 500 hPa/ Humedad (%)

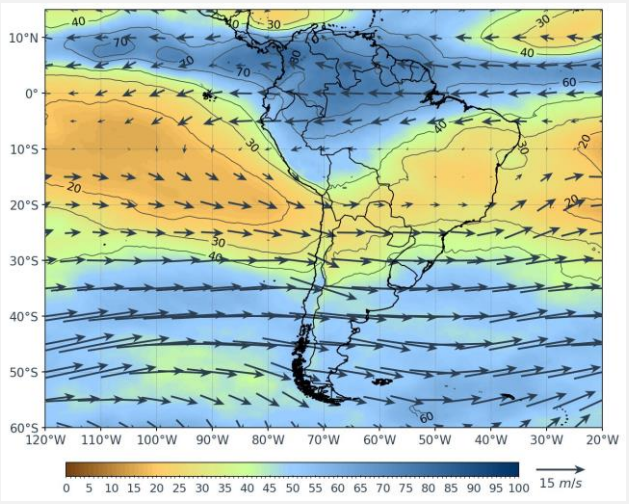

NIVELES BAJOS
Viento (m/s) – 850 hPa

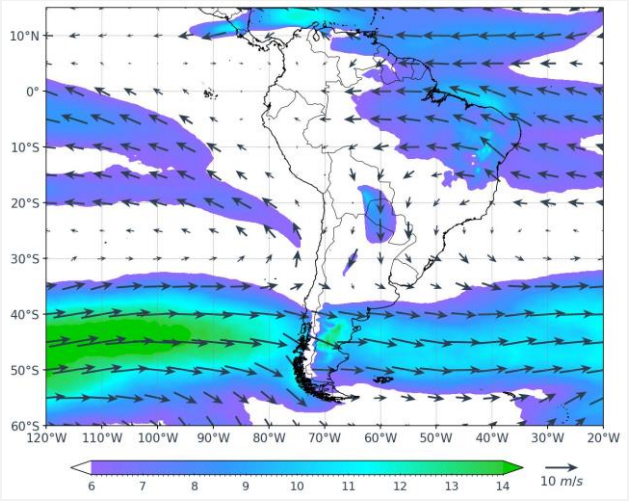

SUPERFICIE
Presión reducida a nivel del mar (hPa)

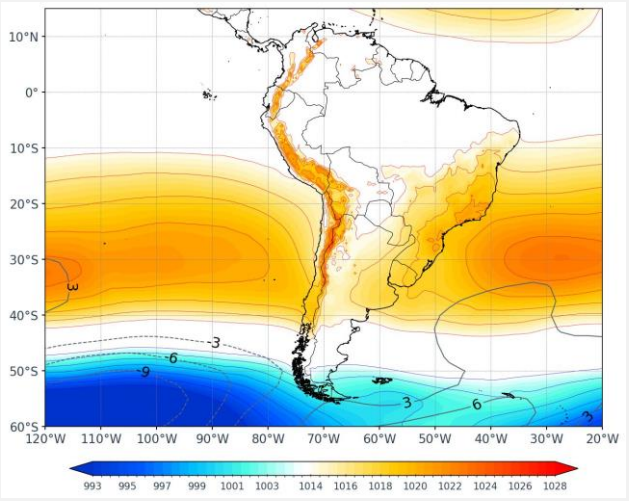

Para el mes de mayo, en niveles altos, la presencia de la Alta de Bolivia (AB) fue poco frecuente y tuvo una configuración mayormente zonal, aportando inestabilidad sobre Brasil, Colombia y Perú, principalmente. Asimismo, desde los 10°S hacia latitudes mayores prevalecieron vientos del oeste con componente zonal dominante a partir de los 15°S, asociado a un onda ubicada entre los 15°S a 45°S. Por otro lado, el Jet Subtropical (JS) se presentó acoplado con el ramal norte del Jet Polar (JP) principalmente desde los 80°W a 30°W, además alcanzó una velocidad promedio máxima cercana a los 38 m/s.

En niveles medios, predominaron flujos del oeste con componente zonal dominante desde los 15°S hacia latitudes mayores, asociados a una onda poco configurada (el cual se reflejó desde niveles altos) que presentó una vaguada de onda corta sobre el centro-norte de Chile; por otro lado, hacia el Ecuador prevalecieron flujos de viento del este. También dominaron dos sistemas anticiclónicos, uno configurado sobre el océano Pacífico (con núcleo no definido) y otro sobre el este de Brasil, ambos alrededor de los 12°S. Estos sistemas favorecieron el ingreso de flujos del este con humedad cercana al 70% hacia el Perú, Brasil, Colombia, Ecuador y demás países del extremo norte; por otro lado, sobre gran parte del resto del continente propiciaron el ingreso de aire seco con valores por debajo del 40% de humedad, principalmente al centro-sur de Brasil, centro-norte de Chile y Argentina, Paraguay, Uruguay, Bolivia y suroeste de Perú.

En niveles bajos, a 850 hPa, predominaron flujos de componente este sobre el norte de Sudamérica aportando humedad proveniente del Atlántico sobre países del norte y centro del continente, asimismo, se presentó el incremento en la velocidad de viento sobre Bolivia, Paraguay y Argentina con valores cercanos a 11m/s, transportando condiciones de humedad e inestabilidad hacia esos sectores, reflejando la presencia del Jet de Bajos Niveles (JBN). En superficie, el Anticiclón del Pacífico Sur (APS) predominó con configuración zonal con núcleo en los 33°S y 120°W, desplazado hacia el sureste de su posición climática, con una intensidad cercana a los 1022 hPa (ligeramente más intenso respecto a su promedio); asimismo, el Anticiclón del Atlántico Sur (AAS), se presentó desplazado hacia el suroeste de su posición climática y con una intensidad similar a su promedio. Por otro lado, se reflejó el paso de altas migratorias (AM) durante el mes con el incremento de presión sobre Argentina, Uruguay, Paraguay y Brasil.

ANÁLISIS

Primera decadiaria

NIVELES ALTOS
Viento (m/s) – 250 hPa

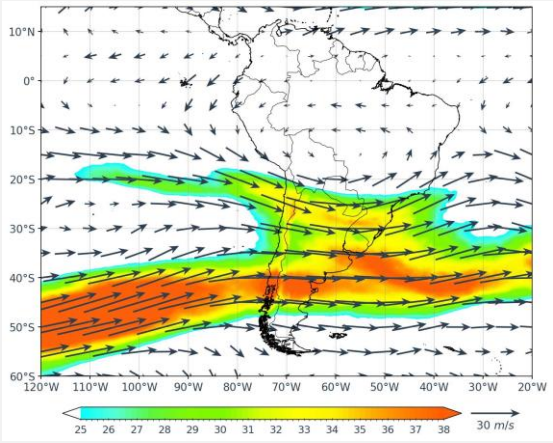

NIVELES MEDIOS
Viento (m/s) – 500 hPa/ Humedad (%)

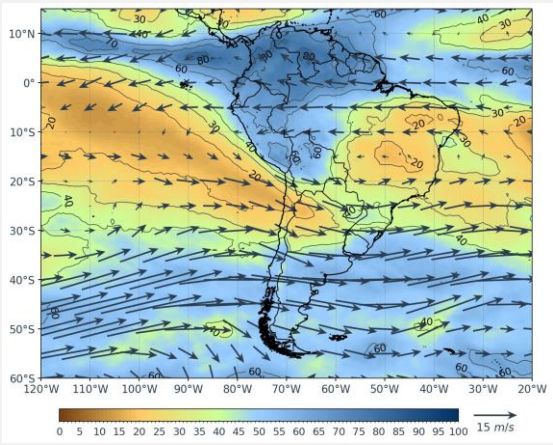

NIVELES BAJOS
Viento (m/s) – 850 hPa

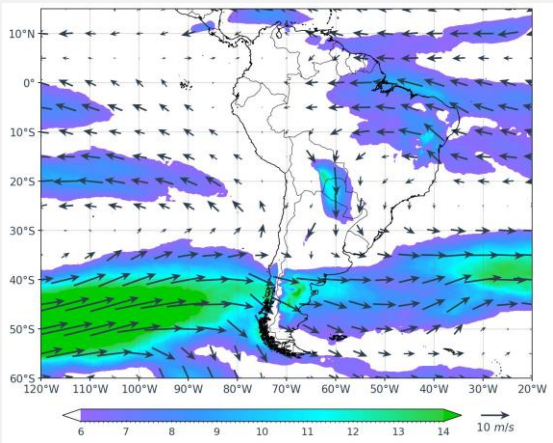

SUPERFICIE
Presión reducida a nivel del mar

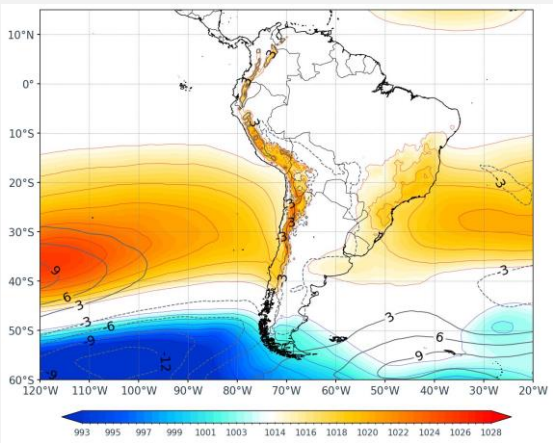

En niveles altos, se presentó la AB con una débil configuración zonal y con núcleo entre Bolivia y Brasil, influyendo principalmente sobre Perú, Brasil y Colombia (generando inestabilidad en esos sectores). Así también, predominaron flujos del oeste desde 10°S hacia latitudes mayores (con componente zonal dominante), influenciados por la presencia de dos ondas provenientes del oeste, que presentaron vaguadas sobre gran parte de Chile y Argentina (acentuando la inestabilidad). Por otro lado, el JS predominó acoplado al ramal norte del JP, desde los 75°W a 40°W, además se alcanzaron velocidades promedio máximas cercanas a los 38 m/s.

En niveles medios, al norte de Sudamérica prevalecieron flujos de componente este que trasladaron humedad (entre 60-80%) hacia Bolivia, Perú, Brasil, Ecuador, Colombia, Venezuela y demás países del extremo norte del continente. Asimismo, predominaron patrones de circulación antihoraria, una alrededor de los 12°S sobre el océano Pacífico y otra sobre el este de Brasil (proveniente del Atlántico), asociados al ingreso de aire seco (por debajo de los 40% de humedad) sobre gran parte de Brasil, norte de Chile y Argentina, Paraguay y Bolivia. También, prevaleció una onda débil con una vaguada ubicada sobre el norte de Chile y Argentina, que se reflejó desde niveles altos, favoreciendo la inestabilidad en ese sector.

En superficie, el APS presentó una configuración zonal con núcleo en los 35°S y 115°W, con valores de presión por encima de los 1024 hPa, más intenso respecto a lo climático y desplazado hacia el suroeste. Asimismo, el AAS se mostró dentro de su posición climática y con valores de presión por debajo de su promedio. Por otro lado, se reflejó un ligero incremento de presión sobre Argentina, Uruguay y Brasil, lo que pudo ser el reflejo del paso de altas migratorias (AM). En niveles bajos, predominaron flujos de componente este sobre el noreste de Sudamérica aportando humedad sobre el norte y centro del continente. Asimismo, se mostró el incremento de viento sobre Bolivia, Paraguay y norte de Argentina, con velocidades cercanas a 13 m/s, transportando condiciones de inestabilidad y humedad hacia esos sectores.

ANÁLISIS

Segunda decadiaria

En niveles altos, prevaleció una dorsal de poca curvatura, lo que limitó la inestabilidad en gran parte de Sudamérica. Además, prevalecieron flujos del oeste desde los 15°S hacia latitudes mayores (con componente zonal dominante), influenciados por la presencia de una onda, que presentó una vaguada sobre el centro-sur de Chile y Argentina (acentuando la estabilidad). Por otro lado, el JS se presentó acoplado con el ramal norte del JP desde los 85°W a 65°W, presentando velocidades promedio máximas cercanas a los 38 m/s.

En niveles medios, en gran parte del norte de Sudamérica prevaleció el contenido de humedad entre 60-80%, principalmente sobre Perú, Brasil, Colombia, Venezuela y demás países del extremo norte, debido a la prevalencia de flujos de componente este al norte de Sudamérica. También, predominaron flujos del oeste desde los 15°S hasta latitudes mayores, asociadas a una onda que se reflejó desde niveles altos (que presentó una vaguada sobre el centro-sur de Chile y Argentina, acentuando la inestabilidad); asimismo, prevalecieron patrones de giro anticiclónico uno sobre el océano Pacífico (alrededor de los 15°S) y otro sobre el sureste de Brasil (alrededor de los 20°S), estos factores favorecieron el ingreso de aire seco (menos del 40% de humedad) sobre gran parte del centro-sur del continente, principalmente sobre Brasil, Chile, Argentina y Paraguay.

En superficie, el APS presentó una configuración zonal con un núcleo en los 32°S y 118°W, con valores de presión cercanos a los 1022 hPa, ligeramente más intenso respecto al climático y desplazado hacia el suroeste. Asimismo, el AAS predomino desplazado hacia el suroeste y con una intensidad superior del promedio. Por otro lado, se reflejó el paso de altas migratorias (AM), con el incremento de presión sobre Argentina, Uruguay, Paraguay y Brasil. En niveles bajos, predominaron flujos de origen este sobre el noreste de Sudamérica, los que se desplazaron sobre la amazonia aportando humedad sobre la región norte y centro del continente, además, se presentó el incremento de la velocidad del viento sobre Bolivia, Paraguay y Argentina con velocidades cercanas a 13m/s, reflejando la presencia del JBN, que favoreció al transporte de humedad y a la inestabilidad.

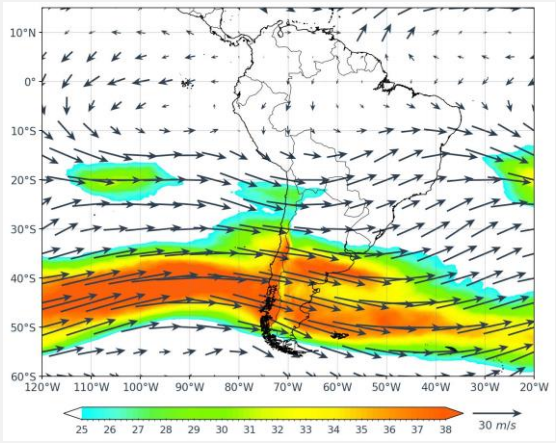

NIVELES ALTOS
Viento (m/s) – 250 hPa

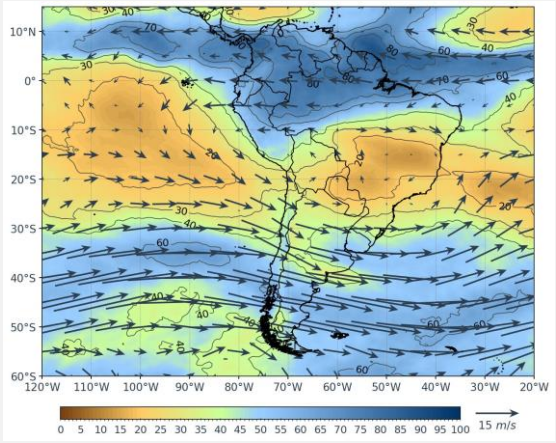

NIVELES MEDIOS
Viento (m/s) – 500 hPa/ Humedad (%)

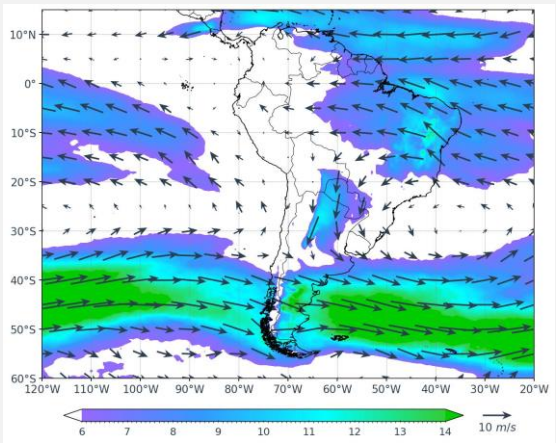

NIVELES BAJOS
Viento (m/s) – 850 hPa

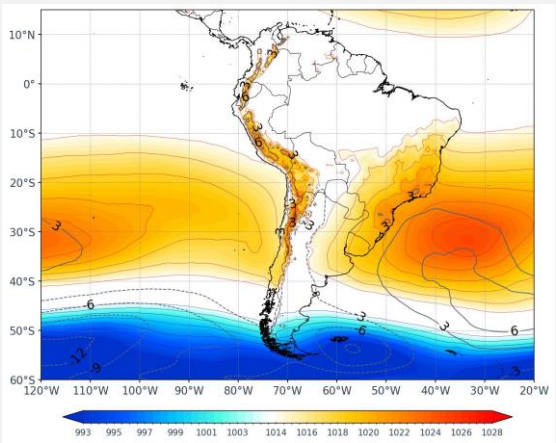

SUPERFICIE
Presión reducida a nivel del mar

ANÁLISIS

Tercera decadiaria

NIVELES ALTOS
Viento (m/s) – 250 hPa

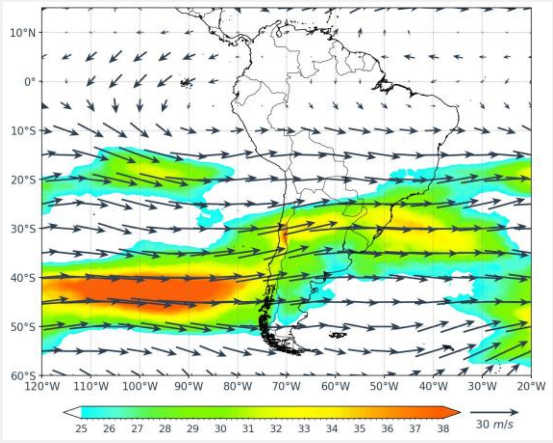

NIVELES MEDIOS
Viento (m/s) – 500 hPa/ Humedad (%)

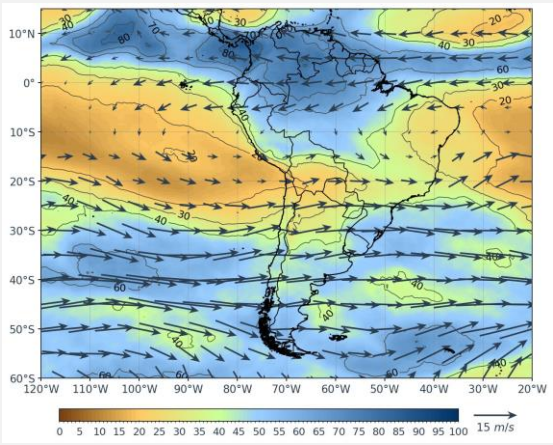

NIVELES BAJOS
Viento (m/s) – 850 hPa

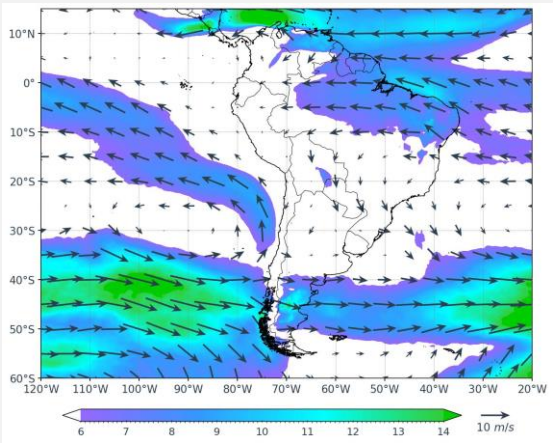

SUPERFICIE
Presión reducida a nivel del mar

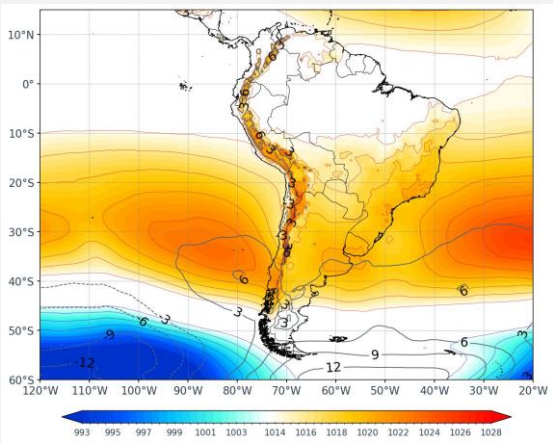

En niveles altos, prevaleció la presencia de ondas de poca curvatura, que presentaron vaguadas que afectaron principalmente el sur de Perú, Bolivia y Argentina (aportando inestabilidad en esos sectores). También, se tuvo el dominio de flujos del oeste, desde 10°S hacia latitudes mayores (con componente zonal dominante), asociado a las ondas, que limitaron el desarrollo de sistemas conectivos en gran parte del centro-sur de Sudamérica. Por otro lado, el JS predominó acoplado al JP desde los 80°W a 30°W, presentando velocidades promedio máximas cercanas a 38 m/s.

En niveles medios, al norte de Sudamérica prevalecieron flujos del este transportando humedad (entre 60-80% de humedad) hacia Perú, Brasil, Colombia, Venezuela y demás países del extremo norte. Así mismo, predominaron patrones de circulación anticiclónica, una sobre el pacífico (alrededor de los 15°S) y otra al este de Brasil (que se extendió desde el Atlántico); también se presentaron flujos dominantes del oeste desde los 15°S hacia latitudes mayores, asociados a una onda de poca curvatura reflejada desde niveles altos, con una vaguada sobre Paraguay, Bolivia y su de Brasil, que acentuó la inestabilidad sobre esos sectores; estos patrones favorecieron el ingreso de aire seco (menor al 40% de humedad) sobre gran parte del centro-sur del continente, especialmente sobre Chile, Argentina, Paraguay, Bolivia, oeste de Perú y Brasil.

En superficie, el APS presentó una configuración mayormente zonal y núcleo en los 34°S y 85°W con valores por encima de los 1022 hPa, más intenso respecto al climático y desplazado hacia el sureste. Por otro lado, el AAS predominó desplazado al suroeste de su posición climática y con una intensidad superior a su promedio. Asimismo, se reflejó el paso significativo de altas migratorias (AM) con el incremento de presión sobre Argentina, Paraguay, Bolivia, Uruguay y Brasil. En niveles bajos, predominaron flujos de origen este sobre el noreste de Sudamérica, aportando humedad sobre el norte-centro del continente, así también, se presentó un incremento de la velocidad del viento sobre Bolivia y Paraguay, alcanzando velocidades cercanas a 10m/s (reflejando la presencia del JBN), transportando condiciones de humedad e inestabilidad hacia esos sectores.

ANÁLISIS MENSUAL

ANOMALÍA DE RADIACIÓN DE ONDA LARGA

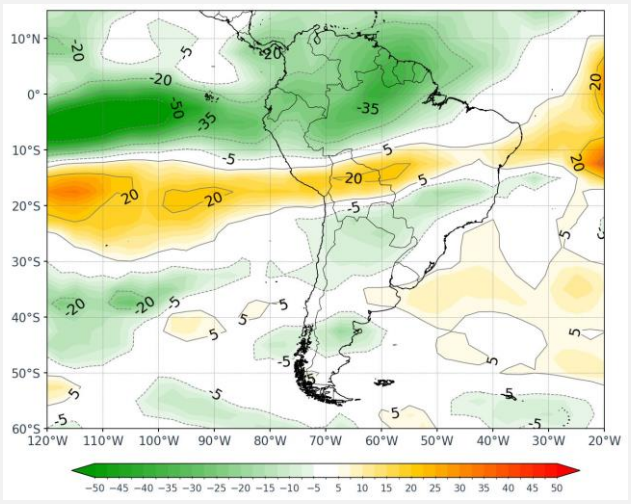

ANOMALÍA DE AGUA PRECIPITABLE

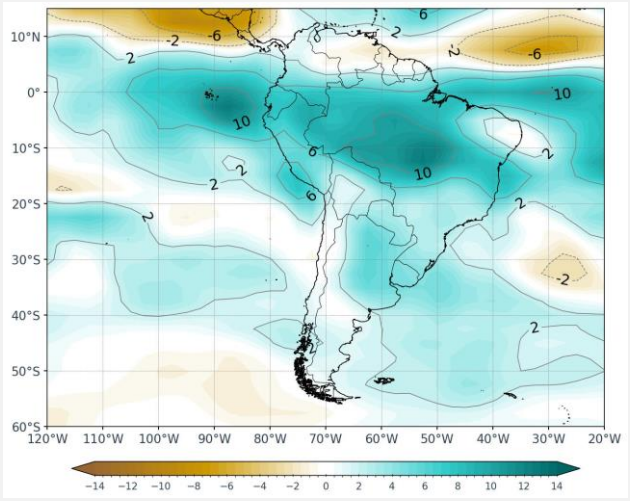

Respecto a las anomalías mensuales de radiación de onda larga, se apreciaron anomalías negativas sobre gran parte del norte del continente, principalmente en Brasil, Perú, Ecuador, Colombia y Venezuela, esto asociado a la presencia de mayor nubosidad en respuesta al mayor contenido de humedad respecto a lo climático. Por otro lado, se apreciaron anomalías positivas de forma localizada, alrededor de los 15°S, afectando principalmente el sur de Perú, Bolivia y el centro de Brasil, relacionadas a la ausencia de nubosidad en la zona, además, estas anomalías positivas podrían ser el reflejo de una disminución en las precipitaciones respecto a lo climático.

Las anomalías mensuales de agua precipitable reflejaron anomalías positivas en gran parte del área de análisis y de Sudamérica, de manera más acentuada sobre Brasil, Perú, Ecuador, Colombia, Bolivia, Argentina y en gran parte del Pacífico y del Atlántico tropical, los cuales estuvieron asociados a un incremento de la misma respecto a su climatología, lo que pudo haberse reflejado con mayor nubosidad y probables precipitaciones. Por otro lado, las anomalías negativas abarcaron zonas localizadas como en los países del extremo norte de Sudamérica, indicando la poca actividad convectiva y disminución de agua precipitable respecto a su climatología (relacionado a zonas con más sequedad de lo usual).

ANÁLISIS TEMPORAL

Presión reducida al nivel del mar

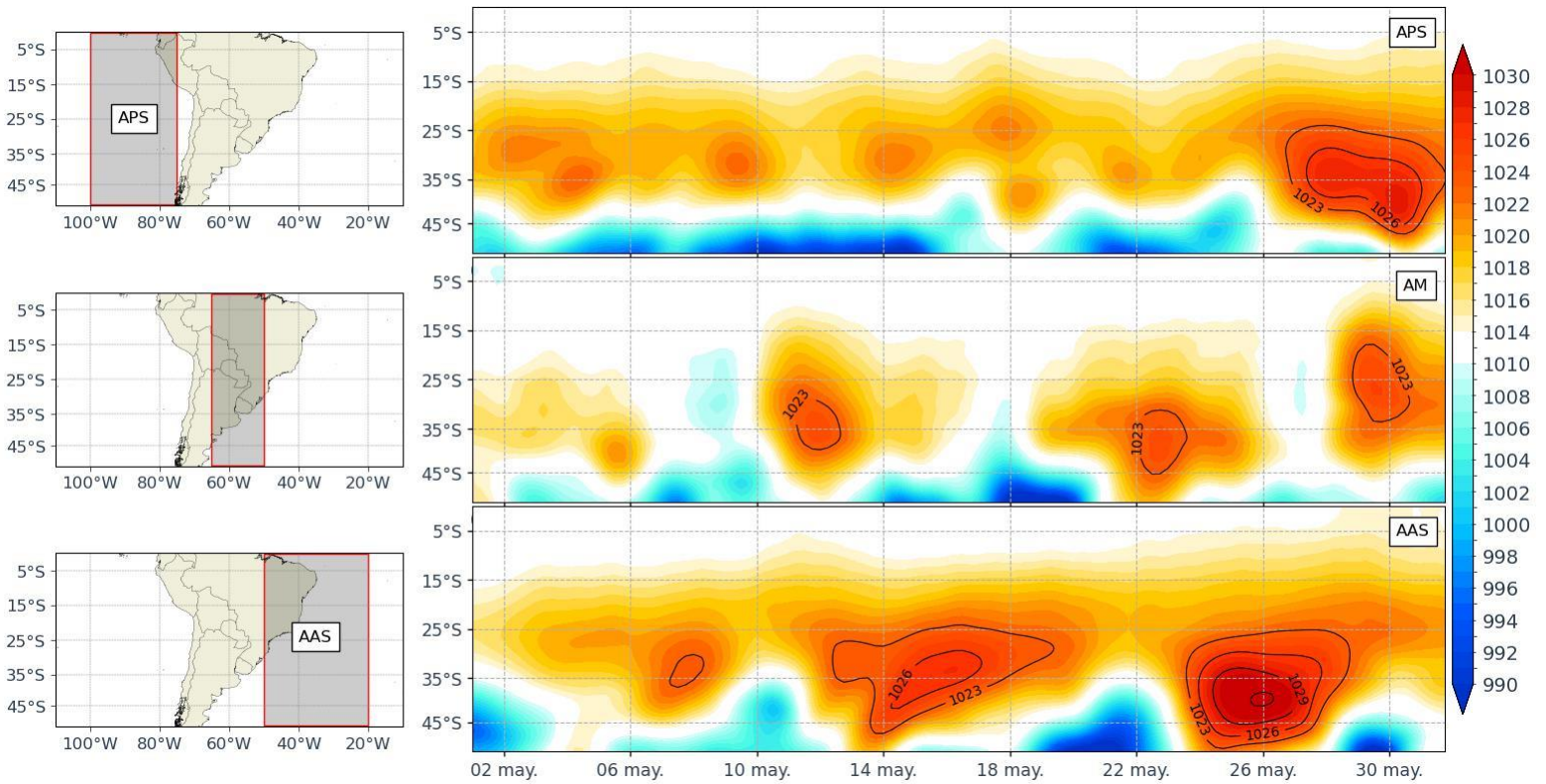

Durante el mes de mayo, el APS superó los 1023 hPa del día 26 en adelante, para el resto del periodo se tuvieron en su mayoría valores bajos de presión (sección APS). Por otro lado, el AAS llegó a superar los 1023 hPa durante el mes, de manera marcada para la segunda y tercera decadiaria, llegando a alcanzar incluso valores cercanos a los 1032 hPa cerca del 26 de mayo (sección AAS). Respecto a las altas migratorias (AM), se presentó una intensificación cerca del 12, 23 y 30 de mayo (con valores por encima de los 1023 hPa), estos incrementos estuvieron asociados a la presencia del noveno y décimo friaje del año en la selva peruana.

Director de Meteorología y Evaluación Ambiental Atmosférica
Julio Ernesto Urbiola del Carpio
jurbiola@senamhi.gob.pe

Subdirector de Predicción Meteorológica
Piero Rivas Quispe
privas@senamhi.gob.pe

Elaboración y redacción:
- Bremilda Sutizal Sánchez
  bsutizal@senamhi.gob.pe

Para mayor información sobre los avisos meteorológicos, visite este link :
http://www.senamhi.gob.pe/avisos

Próxima publicación: JULIO 2025

Servicio Nacional de Meteorología e Hidrología del Perú - SENAMHI
Jr. Cahuide 785, Jesús María
Lima - Perú

Central telefónica: 614-1414
Unidad Funcional de Atención al Ciudadano:
470-2867
Pronóstico: 614-1407 o 265-8798
(Atención las 24 horas vía WhastApp)

Consultas y sugerencias:
pronosticador@senamhi.gob.pe